

九州大学 正員 山崎徳也
 " ○黒木健実

1. まえがき

さきに著者らは、運動エネルギーおよびポテンシャルエネルギーをはじめ、振動方程式の誘導に必要な物理量をすべて階段状直線で近似した、いわゆる多質点系によるはりの弾塑性解析法を発表した。

本報告は、これらの物理量を折れ線で近似することにより、上記手法の誤差を除去して精度の向上を図るとともに、この近似を用いて新たに誘導した振動方程式と Bi-linear 型の曲げモーメント-曲率関係とを併用する簡便な応答計算法を提示するものである。

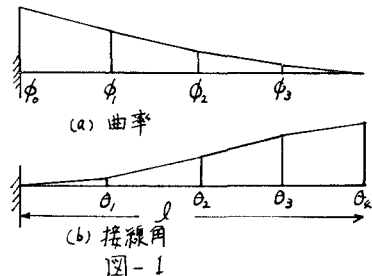
2. 基本式

基本式誘導の便宜上、片持ばりを例にとり、分割数が 4 の場合について述べることにする。一般に、たわみ ϕ と接線角 θ との関係ならびに接線角 θ と曲率 κ との関係はそれぞれ次のように表される。

$$\int dy = \int \theta dx, \quad \int d\theta = \int \phi dx \quad \text{ただし } dx : \text{はりの微小長さ} \quad (1)$$

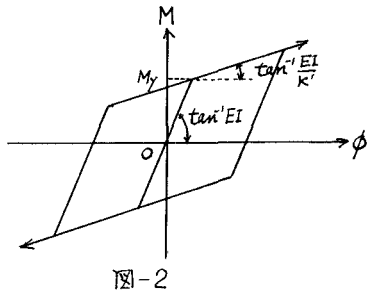
式(1)に、図-1 のように折れ線で近似した曲率および接線角を適用すれば、分割点のたわみおよび接線角が次式で表される。

$$\left. \begin{array}{l} y_1 = \frac{l}{8} \theta_1 \\ y_2 - y_1 = \frac{l}{8} (\theta_1 + \theta_2) \\ y_3 - y_2 = \frac{l}{8} (\theta_2 + \theta_3) \\ y_4 - y_3 = \frac{l}{8} (\theta_3 + \theta_4) \end{array} \right\} (2) \quad \left. \begin{array}{l} \theta_1 = \frac{l}{8} (\phi_0 + \phi_1) \\ \theta_2 - \theta_1 = \frac{l}{8} (\phi_1 + \phi_2) \\ \theta_3 - \theta_2 = \frac{l}{8} (\phi_2 + \phi_3) \\ \theta_4 - \theta_3 = \frac{l}{8} \phi_3 \end{array} \right\} (3)$$



式(2), (3)より曲率 κ がたわみ y の関数として次のように求められる。

$$\left. \begin{array}{l} \phi_0 = -\left(\frac{l}{8}\right)^2 (12y_1 - 8y_2 + 4y_3 - y_4) \\ \phi_1 = -\left(\frac{l}{8}\right)^2 (-11y_1 + 8y_2 - 4y_3 + y_4) \\ \phi_2 = -\left(\frac{l}{8}\right)^2 (8y_1 - 7y_2 + 4y_3 - y_4) \\ \phi_3 = -\left(\frac{l}{8}\right)^2 (-4y_1 + 4y_2 - 3y_3 + y_4) \end{array} \right\} (4)$$



次に、断面の曲げモーメント-曲率曲線を、弾性時の曲げ剛性を EI 、塑性時のそれを EI/K' とする Bi-linear 型(図-2 参照)で近似すれば、任意時刻 t における曲げモーメント $M(t)$ は次式で表されることになる。

$$M(t) = EI \left\{ \phi(t)(1 - \frac{t}{K'}) - \phi^p(t - \Delta t) \right\} \geq M_p (1 - \frac{t}{K'}) \quad \text{のとき} \quad M(t) = M_p (1 - \frac{t}{K'}) + \frac{EI}{K'} \phi(t)$$

$$\left. \begin{array}{l} \bar{M}(t) \leq -M_y(1-\frac{1}{K'}) \text{ のとき} \\ |\bar{M}(t)| < M_y(1-\frac{1}{K'}) \quad " \end{array} \right. \quad \left. \begin{array}{l} M(t) = -M_y(1-\frac{1}{K'}) + \frac{EI}{K'} \phi(t) \\ M(t) = EI \{ \phi(t) - \phi^P(t-at) \} \end{array} \right\} \quad (5)$$

ただし at : 微小な時間間隔

式(5)より時刻 t における塑性曲率 $\phi^P(t)$ は次のように求められる。

$$\left. \begin{array}{l} |\bar{M}(t)| \geq M_y(1-\frac{1}{K'}) \text{ のとき} \\ |\bar{M}(t)| < M_y(1-\frac{1}{K'}) \quad " \end{array} \right. \quad \left. \begin{array}{l} \phi^P(t) = \phi^P(t-at) + \frac{K'}{EI} \{ M(t) - M(t-at) \} \\ \phi^P(t) = \phi^P(t-at) \end{array} \right\} \quad (6)$$

ここで、式(4)の右边の二乗を式(5)の曲げモーメントと関係づけるために、図-3を参照して下記の運動エネルギー、一下およびボテンシャルエネルギーを誘導し、Lagrange's Equation を適用すれば、弾性時・塑性時に共通する運動方程式として式(7)が得られる。

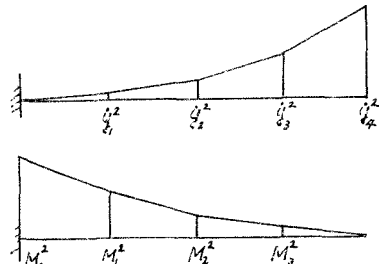
$$T = \frac{1}{2} \int m \ddot{y}^2 dx = \frac{m\ell}{16} (2\ddot{y}_1^2 + 2\ddot{y}_2^2 + 2\ddot{y}_3^2 + \ddot{y}_4^2)$$

$$U = \frac{1}{2} \int \frac{M^2}{EI} dx = \frac{\ell}{6EI} (M_0^2 + 2M_1^2 + 2M_2^2 + 2M_3^2)$$

ただし M : はりの単位長さ当たりの質量

$$\left. \begin{array}{l} \ddot{y}_1 = \frac{1}{m} \left(\frac{8}{3} \right)^2 (6M_0 - 11M_1 + 3M_2 - 4M_3) = \frac{Q_1}{m} \\ \ddot{y}_2 = \frac{1}{m} \left(\frac{8}{3} \right)^2 (-4M_0 + 3M_1 - 7M_2 + 4M_3) = \frac{Q_2}{m} \\ \ddot{y}_3 = \frac{1}{m} \left(\frac{8}{3} \right)^2 (2M_0 - 4M_1 + 4M_2 - 3M_3) = \frac{Q_3}{m} \\ \ddot{y}_4 = \frac{1}{m} \left(\frac{8}{3} \right)^2 (-M_0 + 2M_1 - 2M_2 + 2M_3) = \frac{Q_4}{m} \end{array} \right\} \quad (7)$$

図-3



ただし Q : 一般力

よって \ddot{y} を差分化すれば結局にわたり $(t+at)$ が次式で求められる。

$$\ddot{y}(t+at) = 2\ddot{y}(t) - \ddot{y}(t-at) + at^2 \ddot{y}(t) \quad (8)$$

(4), (5), (6), (7) および式(8)が本法の基本式で、荷重および初期条件が与えられたば、これ(の式)群と差分計算により片持ばかりの変形学習が逐次解明されることとなる。

3. 計算例

さきに述度した多質点系置換法と本法の精度を比較検討する目的に、分割数を変化させて片持ばかりの1次固有振動数を算出しつ。表-1は振動解に対する比を表わしたもので、これより本法は多質点系置換法に比べて良好な近似解法といえる。今後さらには高次の振動数および応答についても検討する予定である。

表-1 片持ばかりの1次固有振動数

分割数	本法	多質点系
1	0.529	1.258
2	0.786	1.21
3	0.885	1.292
4	0.927	1.052
5		1.034

①山崎昌木: せりの動的弾塑性解析、九州大学工学集報、第46卷 第6号、昭和43年1月

②山崎太田黒木、片持ばかり動的弾塑性有限変形について、第24回土木学会次学術講演会講演集、昭和44年9月